

# ВЛИЯНИЕ МАГНИТНОГО ПОЛЯ НА ЭНЕРГИЮ СВЯЗАННОГО СОСТОЯНИЯ В КВАНТОВАННОЙ ПЛЕНКЕ

*Э. П. Синявский*

В квантованной пленке (КП) энергия связанных состояний (СС) примесного центра существенным образом зависит от толщины пленки  $d$ . Если локальный центр с короткодействующим трехмерным потенциалом расположен в точке с координатой  $d/a$ , то в рассматриваемой ниже модели СС существует при  $d/a > 2 \ln 2$  ( $a$  — боровский радиус локализованного состояния). Для мелких примесных центров (например,  $D^{(-)}$  центры в Ge [1]) при  $d < 10^2$  Å СС отсутствуют, и примесь влияет только на процессы неупругого рассеяния носителей. Включение внешнего магнитного поля  $H$  приводит к тому, что эффективный боровский радиус уменьшается и при определенных значениях  $H$  возникают СС. Эти индуцированные магнитным полем СС могут принимать активное участие в процессах рекомбинации, люминесценции, поглощении света.

В данной работе методом потенциала нулевого радиуса [2] исследуется влияние магнитного поля на энергетический спектр мелких примесных центров в КП. Рассмотрим размерно-квантовую пленку, потенциал которой  $\hat{V}(z)$  вдоль оси  $Oz$  представляет собой прямоугольную яму шириной  $d$  с бесконечно высокими стенками. Если напряженность магнитного поля перпендикулярна поверхности пленки, то гамильтониан исследуемой задачи (в калибровке Ландау) записывается в виде

$$\begin{aligned} \hat{H} &= \hat{H}_0 + W(\mathbf{r}), \\ \hat{H}_0 &= \frac{1}{2m} \left[ \left( \hat{p}_x + \frac{eH}{c} y \right)^2 + \hat{p}_y^2 + \hat{p}_z^2 \right] + V(z), \\ W(\mathbf{r}) &= V_0 \delta(x) \delta(y) \delta(z - z_0) \left[ 1 + x \frac{\partial}{\partial x} + y \frac{\partial}{\partial y} + (z - z_0) \frac{\partial}{\partial z} \right], \end{aligned} \quad (1)$$

$W(\mathbf{r})$  — оператор взаимодействия заряженной частицы с примесным центром, расположенным в точке с координатами  $\mathbf{r}_0 (0, 0, z_0)$ ;  $V_0$  — определяет мощность потенциальной ямы, которая связана с феноменологическим параметром  $E_0$  — глубиной залегания уровня в массивном образце. Уравнение для энергии связанных состояний (ЭСС) в модели потенциала нулевого радиуса записывается в виде [3]

$$\begin{aligned} V_0 \tilde{G}(0, z_0) &= 1, \\ \tilde{G}(0, z_0) &= \left[ 1 + x \frac{\partial}{\partial x} + y \frac{\partial}{\partial y} + (z - z_0) \frac{\partial}{\partial z} \right] G(\mathbf{r}, \mathbf{r}_0) \Big|_{\substack{x=y=0 \\ z=z_0}}. \end{aligned} \quad (2)$$

Если  $\Psi_n(\mathbf{r})$ ,  $E_{Nn}$  — собственные функции и собственные значения гамильтониана  $\hat{H}_0$ , то функция Грина  $G(\mathbf{r}, \mathbf{r}')$  определяется соотношением.

$$\begin{aligned} G(\mathbf{r}, \mathbf{r}') &= \sum_{nNk_x} \frac{\Psi_{nNk_x}(\mathbf{r}) \Psi_{nNk_x}^*(\mathbf{r}')}{E_{Nn} - E} = \\ &= \frac{1}{dR^2\pi} \exp \left\{ -\frac{1}{2} \left[ \xi + \frac{i}{R^2} (x - x')(y + y') \right] \right\} \sum_{nN} \sin \frac{\pi nz}{d} \sin \frac{\pi nz'}{d} \frac{L_n(\xi)}{E_{nN} - E}, \quad (3) \\ \xi &= \frac{1}{2R^2} [(y - y')^2 + (x - x')^2], \quad R^2 = \frac{c\hbar}{eH} = \frac{\hbar}{m\omega_c}, \end{aligned}$$

$L_n(\xi)$  — полиномы Лагерра;  $R$  — магнитная длина;  $\omega_c$  — циклотронная частота;  $N$ ,  $n$  — числа, описывающие соответственно уровни Ландау

и уровни размерного квантования. Если  $E = -E^{(0)}$  ( $E^{(0)}$  ЭСС в магнитном поле), то сумма по  $N$  вычисляется точно [2]. В результате, согласно (3), можно записать уравнение для ЭСС

$$(2\delta)^{1/2} + \frac{R}{2\delta d} \int_0^\infty d\tau e^{-\tau} \left\{ \frac{1}{1 - e^{-\tau/\delta}} \left[ \Theta_3 \left( \beta \frac{\pi}{2} \middle| \frac{i\tau}{\pi\delta\delta_0} \right) - \Theta_3 \left( 0 \middle| \frac{i\tau}{\pi\delta\delta_0} \right) \right] + \right. \\ \left. + \delta \sqrt{\pi\delta\delta_0}/\tau \sqrt{\tau} \right\} = \frac{R}{a_0}, \quad (4)$$

$$\delta_0 = 2 \left( \frac{d}{\pi R} \right)^2, \quad \delta = \frac{1}{2} \left( \frac{E^{(0)}}{\hbar\omega_c} + 1 \right) = \frac{E(H)}{\hbar\omega_c}, \quad \beta = \frac{2z_0}{d},$$

$$\Theta_3(u \mid v) = 2 \sum_{s=1}^{\infty} \cos(2us) e^{-is^2\pi} + 1,$$

$E(H)$  — ЭСС в магнитном поле, отсчитанная от дна зоны проводимости;  $a_0$  — радиус связанных состояний в отсутствие магнитного поля.

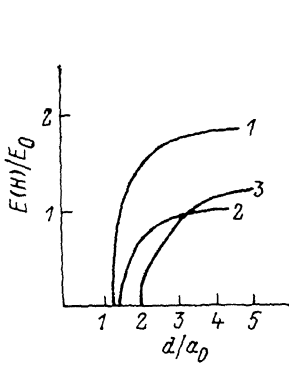
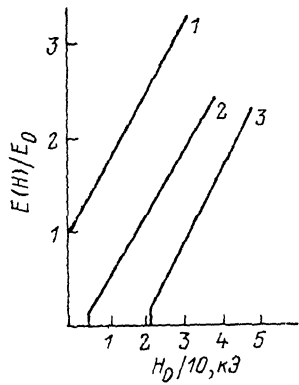


Рис. 1. Зависимость энергии связанных состояний от напряженности магнитного поля.  $\gamma_0 = d/a_0 = 20$  (1), 1.2 (2), 1 (3).

Рис. 2. Зависимость энергии связанных состояний от толщины квантовой пленки.  $p^2 = \hbar\omega_c/2E_0$ .  $p$ : 1 — 1, 1; 2 — 0.4, 1; 3 — 0.5, 0.5.

Для массивного образца, когда  $d/a \gg 1$ , можно воспользоваться следующими асимптотическими разложениями:

$$\sum_{n=1}^{\infty} \cos \pi \beta e^{-\pi n^2/\delta_0} \simeq -\frac{1}{2} (\beta \neq 0), \quad \sum_{n=1}^{\infty} e^{-\pi n^2/\delta_0} \simeq \frac{1}{2} \left( \sqrt{\frac{\pi\delta_0}{\tau}} - 1 \right). \quad (5)$$

В этом случае (4) переходит в уравнение для ЭСС в магнитном поле, полученное в [2]. Если  $H \rightarrow 0$ , экспоненту в знаменателе подынтегрального выражения (4) можно разложить в ряд. Используя интегральное преобразование  $\tau^{-1} = \int_0^\infty dx e^{-\tau x}$ , интегрирование в (4) по  $\tau$  проводится элементарно, если учесть, что

$$\int_0^\infty \Theta_3 \left( \frac{\alpha}{2} \middle| \frac{i\beta\tau}{\pi} \right) e^{-\tau} d\tau = \frac{\pi}{\sqrt{\gamma\beta}} \frac{\operatorname{ch}[(\pi - \alpha)\sqrt{\gamma\beta}]}{\operatorname{sh} \pi\sqrt{\gamma\beta}}. \quad (6)$$

В результате получается уравнение для ЭСС в КП, совпадающее с [3]. Если примесь расположена в центре КП, то выражение для ЭСС записывается в виде ( $\hbar^2 k^2/2m = E_0$ )

$$(ka_0) = \frac{a_0}{d} \ln \left[ \frac{1}{2} e^{d/a_0} - \sqrt{\frac{1}{4} e^{2d/a_0} - e^{d/a_0}} \right]. \quad (7)$$

Как непосредственно следует из (7), СС в КП возникают, когда  $d/a_0 > 2 \ln 2$ . При  $d/a_0 = 2 \ln 2$  СС сливается с непрерывным спектром.

На рис. 1 приведена зависимость ЭСС (в относительных единицах) от напряженности магнитного поля. Оценки проводились для полупроводниковой пленки типа Ge ( $E_0 = 0.57$  МэВ [5]). Кривая 1 описывает зависимость ЭСС от напряженности магнитного поля для массивного образца [6].

На рис. 2 приведена зависимость ЭСС от толщины пленки для различных значений напряженности магнитного поля. Кривая 2 описывает поведение СС в отсутствие магнитного поля. С ростом Н (кривая 2) СС возникают при меньших толщинах КП.

Если примесь расположена не в центре КП ( $\beta \neq 1$ ), то СС в магнитном поле появляются при больших значениях толщины пленки (кривая 3 на рис. 2 получена для  $p=0.5$ ,  $\beta=0.5$ ). Это связано с тем, что чем ближе примесный центр находится к поверхности, тем быстрее нарушается критерий существования СС в КП.

### Список литературы

- [1] E. M. Gershenson, A. P. Mel'nukov and R. I. Rabinovich, Electron—Electron Interactions in Disordered Systems. Edited by A. L. Efros and M. Pollak, Elsevier Science Publishers B. V. 1985. P. 670.
- [2] Демков Ю. Н., Островский В. Н. Метод нулевого радиуса в атомной физике. Л.: 1975. С. 240.
- [3] Кревчик В. Д., Ималов З. З. // ФТП. 1983. Т. 17. № 7. С. 1235—1241.
- [4] Прудников А. Б., Брычков Ю. А., Марычев О. И. Интегралы и ряды (дополнительные главы). М.: Наука, 1986. С. 800.
- [5] Masaki Taniguchi, Shin-ichiro Natita // J. Phys. Jpn. 1979. V. 47. P. 1503—1510.
- [6] Синявский Э. П., Сафонов Е. Ю. // ФТТ. 1989. Т. 31. № 7. С. 1—5.

Институт прикладной физики  
Кишинев

Поступило в Редакцию  
17 июля 1990 г.

УДК 537.226

© Физика твердого тела, том 33, № 4, 1991  
Solid State Physics, vol. 33, N 4, 1991

## ДИЭЛЕКТРИЧЕСКИЕ ИССЛЕДОВАНИЯ КРИТИЧЕСКИХ ЯВЛЕНИЙ В ОБЛАСТИ ФАЗОВОГО ПЕРЕХОДА НЕСОРАЗМЕРНАЯ — СЕГНЕТОЭЛЕКТРИЧЕСКАЯ ФАЗЫ В КРИСТАЛЛЕ ТМА — ZnCl<sub>4</sub>

C. Н. Каллаев, И. К. Камилов

Известно, что теория фазовых переходов второго рода Ландау дает качественное, а во многих случаях и количественное описание аномалий при структурных фазовых переходах [1]. Однако в ряде кристаллов в области структурных фазовых переходов (в том числе и сегнетоэлектрических) обнаружены широкие интервалы температур, в которых для описания поведения термодинамических величин необходимо учитывать флуктуационные эффекты. В частности, для сегнетоэлектрических кристаллов Cs<sub>2</sub>HPO<sub>4</sub> [2] и танана [3] на основании исследований диэлектрических и оптических свойств показано, что критический индекс для восприимчивости имеет неклассические значения: соответственно  $\gamma \approx 1.31$  в области температур  $3 < T - T_c < 90$  К и  $\gamma \approx 1.28$  в области  $1.5 < T - T_c < 11$  К. Поэтому в последнее время проявляется повышенный интерес к исследованиям критических явлений в области структурных фазовых переходов различного типа.